

**РАСЧЕТ ПОЛЕЙ ПЕРЕСЕЧЕНИЙ
ЗЕЕМАНОВСКИХ ПОДУРОВНЕЙ КОНФИГУРАЦИЙ
 $3p^55p\text{Ar I}$, $4p^55p$, $6p\text{Kr I}$**

Г. П. Анисимова и Р. И. Семенов

В основу расчета зависимости энергий зеемановских подуровней от магнитного поля положена полная энергетическая матрица в промежуточной связи, включающая линейный член по полю. Матричные элементы этой матрицы получены с учетом прямых и обменных электростатических и магнитных взаимодействий (спин—спин, спин—своя орбита и спин—чужая орбита, орбита—орбита), что позволило в нулевом магнитном поле (т. е. в отсутствие поля) получить энер-

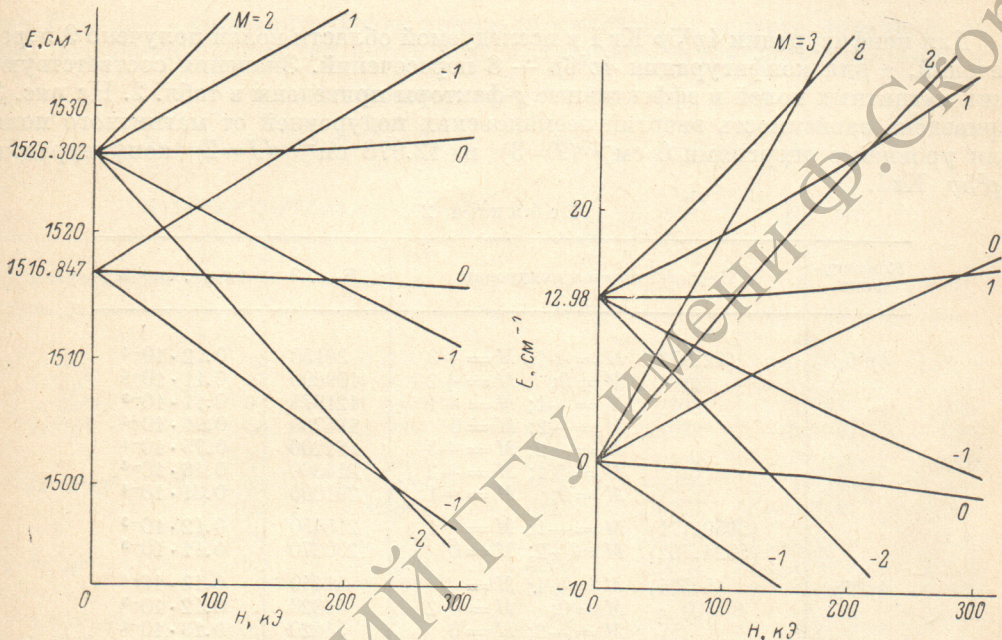


Рис. 1. Зависимость энергий зеемановских подуровней от магнитного поля конфигурации $3p^55p\text{Ar I}$.

Рис. 2. Зависимость энергий зеемановских подуровней от магнитного поля конфигурации $4p^55p\text{Kr I}$.

гии тонкой структуры, совпадающие с экспериментальными [1] с точностью до тысячной cm^{-1} . Поля пересечений указанных конфигураций получены в результате численной диагонализации полной энергетической матрицы, разбитой на субматрицы по M — магнитному квантовому числу — при различных значениях магнитного поля (от 0 до 300 кЭ) на ЭВМ БЭСМ-6. В исследуемой нами области полей для конфигурации $3p^55p\text{Ar I}$ получено 7 пересечений, значения полей которых вместе с эффективными гиромагнитными отношениями (угол раскрытия кривых) приведены в табл. 1. Эффективные гиромагнитные отношения вычислялись по следующей формуле:

$$g_{\text{эфф}} = \frac{\Delta E (\text{см}^{-1})}{\Delta H (\text{Э})},$$

где ΔE — разность энергий зеемановских подуровней при значении поля H_1 , близком к полю пересечения; $\Delta H = (H_1 - H_{\text{неп}})$. В качестве иллюстрации на рис. 1 приведена зависимость энергий зеемановских подуровней от магнитного поля для уровней с энергиями 1526.302 см^{-1} ($J=2$) и 1516.847 см^{-1} ($J=1$) конфигурации $3p^55p\text{Ar I}$.

Таблица 1

| Пересекающиеся подуровни | $H_{\text{пер}}^{***}, \text{Э}$ | $g_{\text{зф}}, \text{см}^{-1}/\text{Э}$ |
|------------------------------|----------------------------------|--|
| (1526.302)* $M^{**}=0; M=+1$ | 150575 | $0.59 \cdot 10^{-4}$ |
| (1516.847) $M=-1; M=+1$ | 78115 | $1.12 \cdot 10^{-4}$ |
| $M=-2; M=0$ | 86640 | $1.09 \cdot 10^{-4}$ |
| $M=-1; M=0$ | 189850 | $0.45 \cdot 10^{-4}$ |
| $M=-2; M=-1$ | 232400 | $0.40 \cdot 10^{-4}$ |
| (240.839) $M=-1; M=+1$ | 297255 | $1.07 \cdot 10^{-4}$ |
| (208.572) $M=-2; M=0$ | 252330 | $1.25 \cdot 10^{-4}$ |

П р и м е ч а н и е. * Энергии уровней тонкой структуры в отсутствие поля в см^{-1} отсчитаны от энергии уровня с $J=3$ [1]. ** Первое значение магнитного квантового числа относится к уровню с большей энергией. *** Ошибка в вычислении поля пересечения составляет $1-3\%$ от величины магнитного поля.

Для конфигурации $4p^55p$ Kr I в исследуемой области полей получено 9 пересечений, а для конфигурации $4p^56p$ — 8 пересечений. Значения соответствующих магнитных полей и эффективные g -факторы приведены в табл. 2. На рис. 2 приведена зависимость энергий зеемановских подуровней от магнитного поля для уровней с энергиями 0 см^{-1} ($J=3$) и 12.978 см^{-1} ($J=2$) конфигурации $4p^55p$ Kr I.

Таблица 2

| Конфигурация | Пересекающиеся подуровни | $H_{\text{пер}}, \text{Э}$ | $g_{\text{зф}}, \text{см}^{-1}/\text{Э}$ |
|--------------|--------------------------|----------------------------|--|
| $4p^55p$ | (12.978) $M=+1; M=+3$ | 98150 | $0.12 \cdot 10^{-4}$ |
| | (0) $M=0; M=+2$ | 109600 | $0.11 \cdot 10^{-4}$ |
| | $M=-1; M=+1$ | 121975 | $0.11 \cdot 10^{-3}$ |
| | $M=-2; M=0$ | 134780 | $0.91 \cdot 10^{-4}$ |
| | $M=+2; M=+3$ | 162200 | $0.75 \cdot 10^{-4}$ |
| | $M=+1; M=+2$ | 214360 | $0.46 \cdot 10^{-4}$ |
| | $M=0; M=+1$ | 291000 | $0.31 \cdot 10^{-4}$ |
| | (5650.771) $M=-1; M=+1$ | 215450 | $0.12 \cdot 10^{-3}$ |
| | (5624.752) $M=-2; M=0$ | 239370 | $0.11 \cdot 10^{-3}$ |
| | (5.504) $M=+1; M=+3$ | 41440 | $0.13 \cdot 10^{-4}$ |
| $4p^56p$ | (0) $M=0; M=+2$ | 46320 | $0.12 \cdot 10^{-3}$ |
| | $M=-2; M=0$ | 54420 | $0.13 \cdot 10^{-4}$ |
| | $M=+2; M=+3$ | 67880 | $0.79 \cdot 10^{-4}$ |
| | $M=+1; M=+2$ | 89000 | $0.49 \cdot 10^{-4}$ |
| | $M=0; M=+1$ | 119870 | $0.32 \cdot 10^{-4}$ |
| | $M=-1; M=0$ | 159800 | $0.24 \cdot 10^{-4}$ |
| | $M=1; M=-1$ | 200570 | $0.21 \cdot 10^{-4}$ |

Заметим, что эти расчетные зависимости получены впервые, поскольку существовавшие ранее теоретические модели для описания тонкой структуры конфигурации $4p^5n'p$ не позволяли получить в отсутствие поля совпадение расчетных и экспериментальных значений энергий с необходимой точностью (например, $[2-4]$), что исключало возможность точного расчета в поле. Возможно, с этим связано отсутствие соответствующего экспериментального материала. Авторы надеются, что полученные нами расчетные значения полей пересечений привлекут внимание экспериментаторов к данной проблеме.

Литература

- [1] Ch. E. Moore. Atomic Energy Levels, 1, NBS, 1949; 2, 1952.
- [2] R. H. Garstang, J. Van Blerkom. J. Opt. Soc. Am., 55, 1054, 1965.
- [3] P. D. Johnston. Proc. Phys. Soc. (London), 92, 896, 1967.
- [4] R. A. Lilly. J. Opt. Soc. Am., 66, 245, 1976

Поступило в Редакцию 8 декабря 1981 г.